浙贝母提取液在大鼠尿液、粪便中的原型成分及代谢产物分析

胡扬1, 王昊1, 王金宏1, 杨 波¹, 斌². 宗 政¹, 胡玲玲1, 李文兰1*

(1. 哈尔滨商业大学药学院, 黑龙江 哈尔滨 150076; 2. 浙江药科职业大学中药学院, 浙江 宁波 315100)

摘要:目的 分析浙贝母提取液在大鼠尿液、粪便中的原型成分及代谢产物。方法 UPLC-Q-TOF-MS 分析采用 Waters ACQUITY UPLC BEH C₁₈色谱柱 (100 mm×2.1 mm, 1.7 μm);流动相 0.1%甲酸-乙腈,梯度洗脱;体积流量 0.4 mL/min;柱温30 ℃;电喷雾离子源;正负离子扫描。结果 在大鼠尿液中共检测出化学成分28 种,其中原型成 分 19 种,代谢产物 9 种;在大鼠粪便中共检测出化学成分 53 种,其中原型成分 37 种,代谢产物 16 种,去除重复后, 共检测出化学成分 66 种,其中原型成分 45 种,代谢产物 21 种;粪便、尿液中共有原型成分 24 种,粪便中独有成分 15种,尿液中独有成分6种;粪便、尿液中共有代谢成分6种,粪便中独有成分11种,尿液中独有成分4种。浙贝 母主要活性成分贝母素甲、贝母素乙代谢途径包括 I 相代谢 (羟基化、氧化脱氢、还原加氢)、II 相代谢 (硫酸化)。

结论 该方法快速准确,简单可行,可用于解析浙贝母体内过程,阐明其药效物质基础。

关键词: 浙贝母提取液: 原型成分: 代谢产物: 尿液: 粪便: UPLC-Q-TOF-MS

中图分类号, R284.1

doi:10.3969/j.issn.1001-1528.2024.02.037

文章编号: 1001-1528(2024)02-0577-07 文献标志码:B

浙贝母为百合科浙贝母 Fritillaria thunbergii Miq. 的干 燥鳞茎, 名列"浙八味"之首, 是我国传统的道地药材之 一,常用于治疗风热咳嗽、肺痈、乳痈、瘰疬、疮毒,肿 瘤等疾病[1-3]。迄今为止,从浙贝母中已经鉴定出数百种化 学成分[4]。研究表明,浙贝母生物碱类成分为其抗炎、抗 氧化及抗肿瘤的潜在活性成分[5-7],贝母素甲和贝母素乙为 浙贝母中的主要活性成分[6-8]。程斌等[9-10]通过谱-效相关 性研究初步筛选出浙贝母9种与抗炎作用相关的质量标志 物,6种与化痰作用相关的质量标志物。

近年来,鉴定药物在体内化学成分的方法和技术不断 发展,最常用的为超高效液相色谱-四极杆-飞行时间串联 质谱 (UPLC-Q-TOF-MS) 技术[11-12]。李荣荣等[13] 对浙贝 母主要成分在大鼠血中的代谢产物进行研究, 而目前尚未 有对浙贝母在大鼠尿液、粪便中化学成分的相关研究。因 此,本实验对灌胃浙贝母后大鼠的尿液和粪便样品进行 UPLC-Q-TOF-MS 分析,初步明确其在尿液、粪便中的化学 成分, 并追寻主要活性成分贝母素甲、贝母素乙的代谢途 径,以期为后期其药效物质基础研究提供参考。

1 材料

1.1 动物 雄性 Wistar 大鼠, 体质量 (230±20) g, 购自 长春市亿斯实验动物技术有限责任公司,实验动物生产许 可证号 SCXK (吉) 2018-0007。单次实验所用大鼠均为同 一批次,自由进食饮水,饲养于哈尔滨商业大学实验室, 适应性饲养 1 周,设定温度为 (22±1)℃,相对湿度为 45%~60%。所有实验操作均符合哈尔滨商业大学动物伦理 委员会要求 (审查号 HSDYXY-2020080)。

1.2 试剂与药物 浙贝母 (产地浙江章水) 购自哈尔滨 三棵树药材市场,经哈尔滨商业大学张德连教授鉴定为正 品。贝母素甲(批号 B20080)、贝母素乙(批号 B20081)、 西贝素 (批号 B21331)、贝母辛 (批号 B20082) 对照品均 购自上海源叶生物科技有限公司,纯度均>99.0%。乙腈 (质谱纯)、甲醇(质谱纯)、甲酸(质谱纯)均购自美国 Thermo Fisher Scientific 公司; 甲醇 (色谱级)、氨水 (分析 纯) 均购自天津市天力化学试剂有限公司; 三氯甲烷(分 析纯) 购自天津市科密欧化学试剂有限公司; 水为蒸馏 水,购自广州屈臣氏食品有限公司。

1.3 仪器 Xevo G2 Q TOF 质谱、Acquity UPLC 色谱仪 (美国 Waters 公司); 电子分析天平 (瑞士梅特勒-托利多 公司); 干式氮吹仪(北京成萌伟业科技有限公司); 快速 混匀器 (常州国华电器有限公司); 台式离心机 (上海安 亭科学仪器有限公司);超声清洗器(深圳洁盟清洗设备 有限公司)。

收稿日期: 2023-01-01

基金项目: 黑龙江省重点研发计划指导类项目 (GZ20210092)

作者简介: 宗 政 (1996—), 男, 硕士生, 研究方向为中药药效物质基础。Tel: 18846076317, E-mail: zongzheng0823@163.com.

*通信作者: 李文兰 (1967--), 女, 博士, 教授, 博士生导师, 研究方向为中药药效物质基础。Tel: (0451) 84866056, E-mail: lwldzd@ 163.com

网络出版日期: 2022-12-29

网络出版地址; http://kns.cnki.net/kcms/detail/31.1368.R. 20221228.1642.004.html

2 方法

- 2.1 提取物制备 称取已过 4 号筛的浙贝母粉末 13 g,加入 26 mL浓氨水浸润 1 h,再加入 260 mL三氯甲烷-甲醇混合液 (4:1),称定质量后混匀,在 80 ℃水浴中加热回流 2 h,自然放冷,滤纸过滤后浓缩成浸膏,即得,置于-20 ℃冰箱保存。
- 2.2 分组与给药 将大鼠随机分为空白组、浙贝母组,每组6只。在前期实验基础上,确定浙贝母灌胃给药剂量为0.9 g/kg(以生药计),空白组大鼠灌胃给予等体积生理盐水,每天1次,连续7d。
- 2.3 尿液、粪便收集及预处理
- 2.3.1 尿液 给药 7 d 后,将浙贝母组大鼠置于代谢笼中,禁食不禁水 12 h,收集 0~12 h 含药尿液,3 500 r/min 离心 15 min,取上清液 2 mL,加入 4 倍量乙腈涡旋混匀 2 min,13 000 r/min 离心 10 min,取上清液, N_2 吹干,加入 2 倍量乙腈涡旋混匀 2 min,13 000 r/min 离心 10 min,取上清液, N_2 吹干,0.4 mL 甲醇复溶,0.22 μ m 微孔滤膜过滤,同法制备空白尿液供试品溶液,4 Υ 保存。
- 2.3.2 粪便 给药 7 d 后,将浙贝母给药组大鼠置于代谢笼中,禁食不禁水 12 h,收集 $0\sim12$ h 含药粪便,研钵捣碎研磨后称取 0.5 g,加入 4 倍量乙腈超声提取 30 min,13 000 r/min 离心 10 min,取上清液, N_2 吹干,加入 2 倍量乙腈,涡旋混匀 2 min,13 000 r/min 离心 5 min,取上清

液, N_2 吹干, 0.4 mL 甲醇复溶, 0.22 μm 微孔滤膜过滤, 同法制备空白粪便供试品溶液, 在 4 ° 下保存。

- 2.4 UPLC-Q-TOF-MS 分析条件
- 2.4.1 色谱 Waters ACQUITY UPLC BEH C_{18} 色谱柱(100 mm×2.1 mm, 1.7 μ m);流动相乙腈(A)-0.1% 甲酸(B),梯度洗脱(0~5 min, 2%~25% A; 5~12 min, 25%~45% A; 12~15 min, 45%~80% A; 15~18 min, 80%~86% A; 18~25 min, 86%~94% A);体积流量 0.4 mL/min;柱温 30 ℃;进样量 2 μ L。
- 2.4.2 质谱 电喷雾离子源 (ESI),正负离子扫描;质量扫描范围 m/z 50~1 200;喷雾电压 3.0 kV;离子源温度 100 $^{\circ}$ C;去溶剂气温度 400 $^{\circ}$ C,体积流量 800 L/h;锥孔气体积流量 50 L/h;碰撞能量 20~45 mV。
- 2.5 数据处理 通过 PubMed、CNKI、Chemspider、中药系统药理数据库和分析平台(TCMSP)等数据库,收集整理关于浙贝母化学成分及其代谢物的信息,采用 Waters Masslynx 4.1 软件进行数据分析,根据分子量、分子式、碎片离子质谱图、同类化合物的质谱裂解规律和相关文献对化合物结构进行鉴定。

3 结果

3.1 成分鉴定及分析 尿液、粪便在正负离子模式下的基 峰色谱图分别见图 1~2。

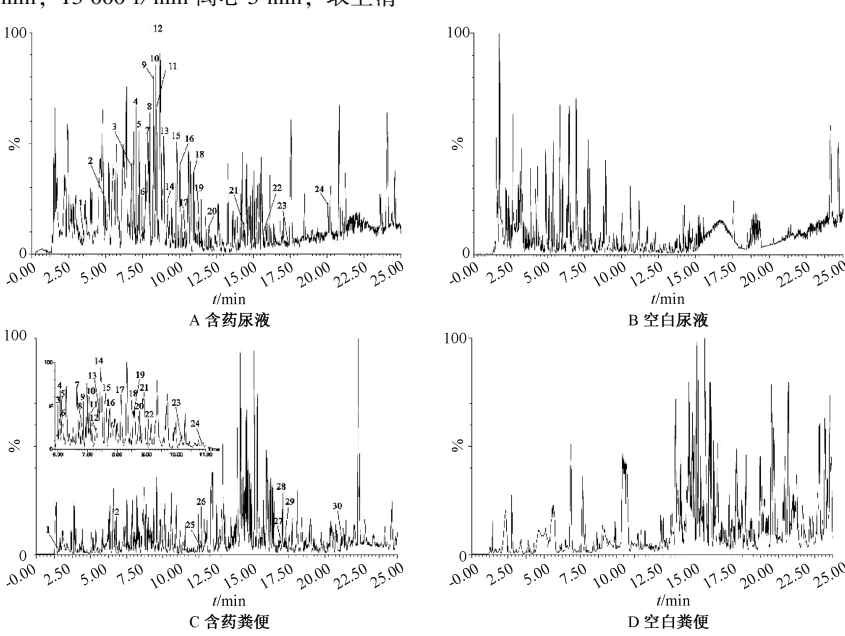


图 1 大鼠粪便、尿液正离子模式基峰色谱图

正离子模式下,尿液中共检测到 15 种原型成分、9 种代谢产物;而负离子模式下共检测到 5 种原型成分,去除重复后共检测到 28 种,包括 19 种原型成分、9 种代谢产物。正离子模式下,粪便中共检测到 16 种原型成分、14 种代谢产物;而负离子模式下共检测到 23 种原型成分、5 种代谢产物,去除重复后共检测到 53 种化学成分,包括 37 种原型成分、16 种代谢产物。除去不同生物样品中的重复成分后,共检测出 66 种化学成分,包括 45 种原型成分、

21 种代谢产物,其中共有原型成分 24 种,粪便中独有成分 15 种,尿液中独有成分 6 种;共有代谢成分有 6 种,粪便中独有成分 11 种,尿液中独有成分 4 种,具体见表 1~2。

- 3.2 原型成分代谢途径分析
- 3.2.1 贝母素甲 该成分可能会发生 I 相代谢反应,即羟基化反应、氧化脱氢反应,以及 II 相代谢反应,即硫酸化反应,其代谢途径见图 3A。

A15 号峰保留时间 9.84 min, 分子量 431.339 9, m/z

第2期

对照品

对照品

13 17

[16] 17 4,13 4,13

[18] _ 20]

[13]

第46卷

No.

Vol. 46

20 4 13-14

13-14

13]

Ξ

23] 16] 16 16 16

13]

4

22_] 17]

579

媝
Ϋ́
尝
ジン
74
及及
成分
当
原型)
口中
区
牁
#
匨
•
粪便中浙贝
尿液、粪(
尿液、
尿液、
式下大鼠尿液、
尿液、
2 负离子模式下大鼠尿液、
负离子模式下大鼠尿液、

/8/				相对分	理论值	文测值	误差	+ 五一級	松谷	代谢		
峰号 iiiiiiiiiiiiiiiiiiiiiiiiiiiiiiiiiiii	公 泰	离子模式	分子式	子质量	m/z		$(\times 10^{-6})$	片离子 m/z	米」	※ 茶	川属	文献
G1 2.57	尿苷	[M-H]	C ₉ H ₁₂ N ₂ O ₆	244. 069 5	243.0617 2	243. 062 0	1. 23	200. 056 2,153. 031 0,140. 034 9,122. 025	5 A	无	N,F	[25]
G2 15.73	5-羟基-戊酸 p-t-丁基苯基酯	_ [W-H]	$C_{15}H_{22}O_3$	250.1569	249.1491 2	249. 149 0	-0.40	231. 137 1, 191. 100 7, 57. 037 8	A	无	Z	[20]
G3 16.63	coriolic acid α -dimorphecolic acid β -dimorphecolic acid	_ [M-H]	$C_{18}H_{32}O_{3}$	296. 235 1	295. 227 3 2	295. 227 8	1.69	277. 216 4, 235. 206 3, 59. 014 0	A	无	N,F	[1]
G4 21.21	9,18-十八碳二烯酸	[M-H]	$C_{18}H_{32}O_{2}$	280.2402	279. 232 4 2	279. 232 8	1.43	261. 224 4, 109. 062 2, 71. 011 2	Α	无	Z	[26-27]
G5 23.21	软脂酸	_ [M-H]	$C_{16}H_{32}O_{2}$	256. 240 2	255. 232 4 2	255. 233 0	2.35	253. 217 2, 251. 233 0, 233. 229 8	Α	无	N,F	[28]
G2 3.30	肌苷/肌苷的同分异构体	[M-H]	$\rm C_{10}H_{12}N_4O_5$	268.0808	267.0729 2	267.0723	-2.25	152.049 1	A	无	Ŀ	[25]
G3 3.62	肌苷/肌苷的同分异构体	_ [M-H]	$C_{10}H_{12}N_4O_5$	268.0808	267.0729 2	267.0735	2. 25	152.048 6	A	无	<u>-</u>	[25]
G4 3.64	胸苷	_ [W-H]	$C_{10}H_{14}N_2O_5\\$	242. 090 3	241.082 4 2	241. 082 8	1.66	223.0719	Α	无	Ŀ	[25]
G5 5.66	贝母素甲代谢物 M9	[M-H]	$\mathrm{C_{27}H_{45}NO_7S}$	527. 291 7	526.2838 5	526. 284 0	0.38	508. 276 2	В	羟基化,硫酸化	Œ	[13]
G6 5.96	贝母素甲代谢物 M5/贝母素乙代谢物 M4	_ [M-H]	$\mathrm{C}_{27}\mathrm{H}_{43}\mathrm{NO}_7\mathrm{S}$	525. 276 0	524.2682 5	524. 268 8	1.14	524. 268 2,506. 257 3	В	氧化脱氢,羟基化,硫酸化	Œ	[13-15]
G7 7.45	贝母素甲代谢物 M7/贝母素甲代谢物 M7 同分异构体	_ [M-H]	$\mathrm{C_{27}H_{45}NO_6S}$	511. 296 8	510.2889 5	510. 289 4	0.98	510. 291 3,492. 272 7	В	硫酸化	Œ	[13]
G8 7.60	贝母素甲代谢物 M7	[M-H]	$\mathrm{C}_{27}\mathrm{H}_{43}\mathrm{NO}_{6}\mathrm{S}$	509. 281 1	508.27335	508. 274 6	2.56	508. 275 8, 490. 265 8	В	氧化脱氢,硫酸化	Ŀ	[13]
G9 8.13	贝母素甲代谢物 M7/贝母素甲代谢物 M7 同分异构体	[M-H]	$\mathrm{C_{27}H_{45}NO_6S}$	511. 296 8	510.2889 5	510. 289 7	1.57	510. 290 5,492. 273 9	В	硫酸化	Ŀ	[13]
G10 12.55	鄂贝酸	[M-H]	$C_{22}H_{34}O_4$	362. 245 7	361.2379 3	361. 238 3	1.11	359. 222 3,343. 227 4	Α	无	Œ	[28]
G11 14.98	贝萼皂苷元	_ [M-H]	$C_{30}H_{48}O_{5}$	488. 350 1	487.3423 4	487.3423	0.00	470.333 6,469.331 5	A	无	Œ	[1]
G12 15.17	4-辛酯异丁基-邻苯二甲酸	[M-H]	${\rm C_{20}H_{30}O_{4}}$	334. 214 4	333. 206 6 3	333. 206 1	-1.50	199. 170 9	Α	无	Ŀ	[18]
G16 19.82	顺式瓔柏酸/反式瓔柏酸	[M-H]	$C_{20}H_{30}O_{2}$	302. 224 6	301.2168 3	301.2167	-0.33	286. 192 7,256. 219 0	Α	无	Ŀ	[24]
G17 20.13	亚麻酸	_ [M-H]	${\rm C_{18}H_{30}O_{2}}$	278. 224 6	277.2168 2	277.217 5	2.53	149. 029 0, 121. 028 8, 95. 083 3	A	无	Ŀ	[29]
G18 20.65	十四烷酸	[M-H]	${\rm C_{14}H_{28}O_{2}}$	228. 208 9	227. 201 1 2	277. 201 4	1.08	255. 181 6, 209. 191 1	A	无	Œ	[30]
G19 20.99	顺式瓔柏酸/反式瓔柏酸	[M-H]	${\rm C_{20}H_{30}O_{2}}$	302, 224 6	301.2168 3	301.2172	1.33	286. 218 8, 255. 218 8	A	无	Œ	[24]
G20 21.42 e	G20 21.42 ent-15 α , 16-epoxy-kauran-17-ol/ent-15 β , 16-epoxy-kauran-17-ol	[M-H]	$C_{20}H_{32}O_{2}$	304. 240 2	303. 232 4 3	303, 233 8	4.62	285. 243 0,116. 928 7	Α	无	Ŀ	[24]
G21 21.61 e	G21 21.61 ent-15 α , 16-epoxy-kauran-17-ol/ent-15 β , 16-epoxy-kauran-17-ol	_ [W-H]	$C_{20}H_{32}O_{2}$	304. 240 2	303. 232 4 3	303. 233 2	2.64	285. 240 9,116. 928 7	Α	无	Œ	[24]
G22 21.92	9,12-十八碳二烯酸	_ [M-H]	$C_{18}H_{32}O_{2}$	280.2402	279. 232 4 2	279. 234 3	8.9	261. 222 0, 109. 066 1, 71. 013 9	A	无	Ŀ	[26-27]
G23 22.81	ent-kauran-16 β , 17-diol/ent-kauran-16 α , 17-diol	_ [M-H]	$C_{20}H_{34}O_{2}$	306.2559	305.248 1 3	305. 247 8	-0.98	255. 232 0,116. 928 4	A	无	Ŀ	[24]
G25 23.56	ent -kauran-16 β , 17-diol/ ent -kauran-16 α , 17-diol	[M-H]	$C_{20}H_{34}O_{2}$	306. 255 9	305.248 1 3	305. 247 8	-0.98	255. 232 4,116. 928 4	A	无	Œ	[24]
G27 24.00	油酸/反油酸	[M-H]	${\rm C_{18}H_{34}O_{2}}$	282. 255 9	281.248 1 2	281.2482	0.36	267. 232 5,263. 234 0,171. 108 9,167. 182	1 A	无	Ē	[31]
G28 24.73	油酸/反油酸	[M-H] -	${\rm C_{18}H_{34}O_{2}}$	282. 255 9	281.248 1 2	281.2493	4. 27	267. 232 3, 263. 234 0, 171. 102 0, 167. 182	1 A	无	F	[31]
^計	口外型米卡里 口外数四卡片 "你不敢写卡里一个个面图卡"											

注: A 为原型成分, B 为代谢产物, N 为尿液样品, F 为粪便样品。

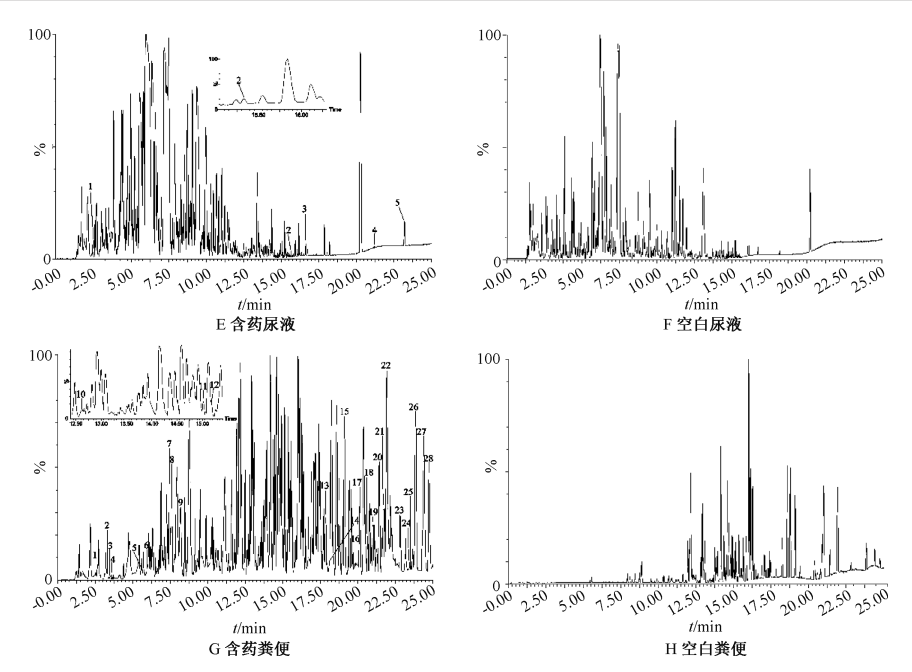


图 2 大鼠粪便、尿液负离子模式基峰色谱图

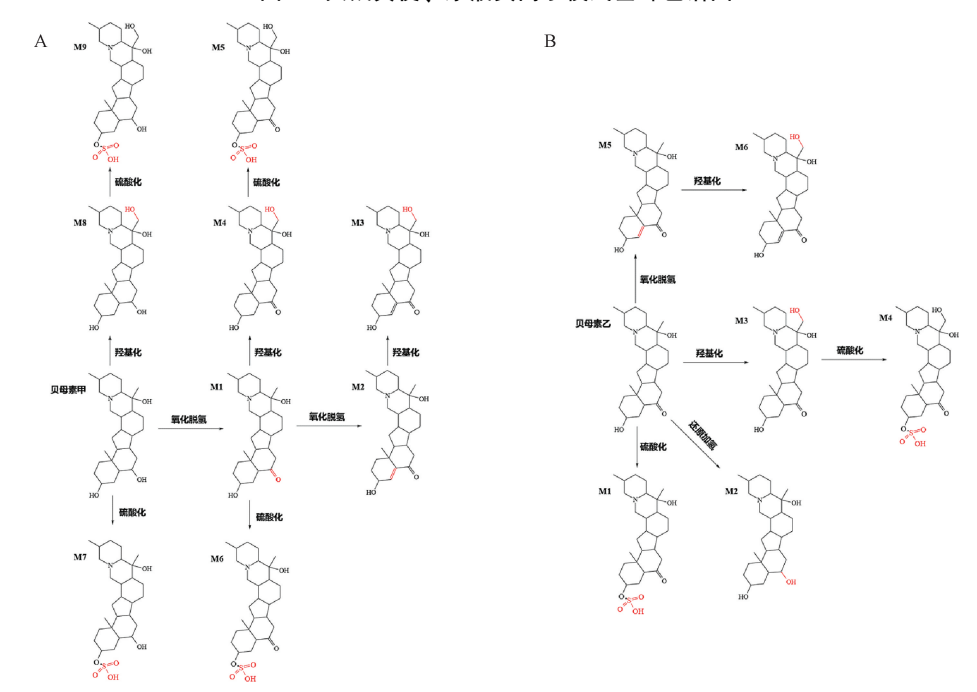


图 3 贝母素甲 (A)、贝母素乙 (B) 代谢途径

432. 349 9 $[M+H]^+$, 失去一分子水形成 m/z 414. 321 2 $[M+H-H_2O]^+$, 碎片离子 m/z 431. 335 5、430. 331 4 与对照 品碎片离子一致,推测为贝母素甲。

A16 号峰保留时间 10.03 min, 分子量 429.324 3, m/z 430.332 8 [M+H]⁺, 与贝母素甲准分子离子峰相差 2, 可能为贝母素甲氧化脱氢产物, 二级碎片离子 m/z 428.311 3 [M+H-H₂]⁺, m/z 412.321 7 [M+H-H₂O]⁺, 与文献 [15]报道一致,推测为贝母素甲代谢物 **M1**。

C12 号峰保留时间 7. 28 min, 分子量 427. 308 6, m/z 428. 316 0 $[M+H]^+$, 与贝母素甲代谢物 M1 准分子离子峰相差 2, 可能为贝母素甲代谢物 M1 进一步氧化脱氢产物,

二级碎片 m/z 410. 305 [M+H-H₂O][†]为失去一分子水形成,m/z 256. 206 9、148. 111 8 碎片离子与文献 [16] 报道一致,推测为贝母素甲代谢物 **M2**。

C2 号峰保留时间 7.44 min, 分子量 443.303 6, m/z 444.311 4 $[M+H]^+$, 与贝母素甲代谢物 M2 准分子离子峰相差 16, 可能为贝母素甲代谢物 M2 进一步羟基化产物,脱氧形成二级碎片离子 m/z 428.315 9 $[M+H-O]^+$, 进一步失去一分子水形成 m/z 410.305 8 $[M+H-O-H_2O]^+$ 碎片离子与文献 [15-16] 报道一致,推测为贝母素甲代谢物 M3。

A4 号峰保留时间 7. 24 min, 分子量 445. 319 2, m/z 446. 327 6 $[M+H]^+$, 与贝母素甲代谢物 **M1** 准分子离子峰

第46卷 第2期

相差 16, 可能为贝母素甲代谢物 M1 进一步羟基化产物, 失去一分子水形成 m/z 428. 315 9 [M+H-H₂O] * 碎片离子, 进一步失去一分子水产生 m/z 410. 305 2 「M+H-H₂O-H₂O]⁺ 碎片离子,此过程与文献「16]报道一致,推测为贝母甲 素代谢物 M4。

G6 号峰保留时间 5.96 min, 分子量 525.276, m/z 524. 268 8 [M-H]⁻,与贝母素甲代谢物 M4 准分子离子峰 相差80,可能为贝母素甲代谢物 M4 进一步硫酸化产物, 失去一分子水形成 m/z 506. 257 3 $[M-H-H_2O]^-$ 的碎片离 子,与文献「15]报道一致,推测为贝母甲素代谢物 M5。

C15 号峰保留时间 6.86 min, 分子量 509.281 1, m/z 510. 288 5 [M+H]*, 与贝母素甲代谢物 M1 准分子离子峰 相差80,可能为贝母素甲代谢物 M1 进一步硫酸化产物, 碎片离子 m/z 430.330 8 为贝母素甲特征峰, 它和 m/z 412.3206 [M+H-H,O-SO,]*与文献 [15] 报道一致,推测 为贝母素甲代谢物 M6。

C14 号峰保留时间 7.43 min, 分子量 511.296 7, m/z 512.304 6 [M+H]+, 与贝母素甲准分子离子峰相差 80, 可 能为贝母素甲硫酸化产物,二级碎片离子 m/z 414.337 4 [M+H-H₂O-SO₃]⁺、m/z 396. 328 7 [M+H-2H₂O-SO₃]⁺与文 献「15-16〕报道一致,推测为贝母素甲代谢物 M7。

A3 号峰保留时间 9.20 min, 分子量 447.334 9, m/z 448. 342 3 [M+H]*, 与贝母素甲准分子离子峰相差 16, 可 能为贝母素甲羟基化产物,失去一分子水形成 m/z 410.036 5 [M+H-H₂O]⁺碎片离子,与文献「16]报道一致,推测为 贝母素甲代谢物 M8。

G5 号峰保留时间 5.66 min, 分子量 527.291 7, m/z 526. 284 [M-H]⁻,与贝母素甲代谢物 M3 准分子离子峰相 差80,可能为贝母素甲代谢物 M3 进一步硫酸化产物,失 去一分子水形成 m/z 508. 276 2 [M-H-H,O] 的碎片离子, 与文献「15]报道一致,推测为贝母素甲代谢物 M9。 3.2.2 贝母素乙 该成分可能发生 I 相代谢反应, 即羟基

化反应、还原加氢反应、氧化脱氢反应, 以及Ⅱ相代谢反 应,即硫酸化反应,其代谢途径见图 3B。

A12 号峰保留时间 8.70 min, 分子量 429.324 3, m/z 430.3373 [M+H]+, 失去一分子水形成 m/z 412.326 1 [M+H-H,O]*碎片离子,与对照品二级碎片信息一致,推 测为贝母素乙。

C9 号峰保留时间 6.86 min, 分子量 509.281 1, m/z 510. 291 3 [M+H]+, 与贝母素乙准分子离子峰相差 80, 可 能为贝母素甲硫酸化产物,碎片离子 m/z 412. 320 6 [M+H-H₂O-SO₃]⁺、m/z 430. 331 9 「M+H-SO₃]⁺与贝母素乙碎片 离子及文献[17]报道一致,推测为贝母素乙代谢物 M1。

A9 号峰保留时间 8.25 min, 分子量 431.339 9, m/z 432.350 2 [M+H]+, 与贝母素乙准分子离子峰相差 2, 可 能为贝母素乙还原加氢产物, 其加氢得到 m/z 430.331 6 [M+H-H₂]⁺碎片离子,失去一分子水形成 m/z 412.320 8 [M+H-H,O]*碎片离子,与文献[15,17]报道一致,推 测为贝母素乙代谢物 M2。

A5 号峰保留时间 7.28 min, 分子量 445.319 2, m/z 446. 327 9 [M+H]⁺,与贝母素乙准分子离子峰相差 16,可 能为贝母素乙羟基化产物,失去一分子水形成 m/z 428. 325 9 [M+H-H₂O]⁺碎片离子,进一步失去一分子水形 成 m/z 410.305 8 「M+H-H,O-H,O]+碎片离子,与文献 [15] 报道一致,推测为贝母素乙代谢物 M3。

G6 号峰保留时间 5.96 min, 分子量 525.276, m/z 524. 268 8 [M-H]⁻, 与贝母素乙代谢物 M3 准分子离子峰 相差80,可能为贝母素乙代谢物 M3 进一步硫酸化产物, 失去一水分子形成 m/z 506. 257 3 [M-H-H₂O] 碎片离子, 与文献「15-17〕报道一致,推测为贝母素乙代谢物 M4。

A13 号峰保留时间 9.20 min, 分子量 427.308 6, m/z 428. 316 [M+H]+, 与贝母素乙准分子离子峰相差 2, 可能 为氧化脱氢产物,失去一分子水形成 m/z 410.036 5 碎片离 子,与文献「15]报道一致,推测为贝母素乙代谢物 M5。

A6 号峰保留时间 7.44 min, 分子量 443.303 6, m/z 444.311 4 [M+H]*, 与贝母素乙代谢物 M2 准分子离子峰 相差 16, 可能为贝母素乙代谢物 M2 进一步羟基化产物, 脱去一个氧形成 m/z 428. 315 9 [M+H-O] * 碎片离子, 进一 步失去一分子水形成 m/z 410. 305 8 [M+H-O-H,O]+碎片离 子,与文献[17]报道一致,推测为贝母素乙代谢物 M6。

4 讨论

中药及其复方的有效组分研究和体内代谢产物、代谢 过程的研究为中药药效物质基础研究提供强有力的支撑, 推动中药及其复方的现代化。由于中药化学成分多而复杂, 在体内代谢产物、代谢路径存在不可预知性,如何在数量 庞大的生物样本信息中辨识目标组分,是目前对中药体内 代谢研究的重点和难点,故本实验采用 UPLC/Q-TOF-MS 技 术对灌胃浙贝母提取物后大鼠的尿液与粪便进行定性分析。 结果发现,在大鼠尿液中共检测出化学成分28种,其中原 型成分19种、代谢产物9种:在大鼠粪便中共检测出化学 成分 53 种, 其中原型成分 37 种, 代谢产物 16 种, 去除重 复后, 共检测出化学成分 66 种, 其中原型成分 45 种, 代 谢产物 21 种;粪便、尿液中共有原型成分 24 种,粪便中 独有成分15种,尿液中独有成分6种;粪便、尿液中共有 代谢成分6种,粪便中独有成分11种,尿液中独有成分 4种。

浙贝母中的有效活性成分主要是异甾型生物碱,其极 性较小,多以原型被吸收[32]。本实验在尿液和粪便中共计 检测出 47 种原型成分,这些原型成分排泄途径大多不一 致,一些原型药物代谢后主要通过肾脏,由尿液排泄;一 些原型药物可能未被吸收,或吸收经胆汁分泌进入肠道, 最后通过粪便排泄[33]。而贝母素甲、贝母素乙、去氢鄂贝 定碱、紫鄂贝碱、鄂贝定碱、coriolic acid 等原型药物存在 尿液、粪便共有现象,推测这些成分可能经胃肠道吸收后, 一部分进入体循环后随尿液排出,一部分经胆汁分泌进入 小肠随粪便排出。本实验通过对尿液、粪便的成分研究发 第46卷 第2期

现,主要发生生物转化的活性成分是生物碱类成分,本实验在推测灌胃浙贝母后尿液、粪便化学成分的基础上,分析了其主要生物碱活性成分贝母素甲、贝母素乙的代谢途径,结果表明其主要通过 I 相代谢 (羟基化、氧化脱氢、还原加氢)、II 相代谢 (硫酸化)等,可为后期进一步研究浙贝母的体内代谢过程和作用机制奠定基础。

参考文献:

- [1] Nile S H, Su J J, Wu D, et al. Fritillaria thunbergii Miq. (Zhe Beimu): A review on its traditional uses, phytochemical profile and pharmacological properties[J]. Food Chem Toxicol, 2021, 153: 112289.
- [2] 国家药典委员会. 中华人民共和国药典: 2020 年版一部 [S]. 北京: 中国医药科技出版社, 2020: 304.
- [3] Cui M C, Chen S J, Wang H H, et al. Mechanisms of Fritillariae Thunbergii Flos in lung cancer treatment from a systems pharmacology perspective [J]. J Ethnopharmacol, 2021, 264: 113245.
- [4] 周建良,刘 伟,郭增喜,等.基于快速液相色谱-四级杆飞行时间串联质谱的浙贝母特征图谱研究[J].中国中药杂志,2013,38(17):2832-2837.
- [5] Rashid I, Yaqoob U. Traditional uses, phytochemistry and pharmacology of genus *Fritillaria*—a review [J]. *Bull Nat Res Centre*, 2021, 45(1): 1-37.
- [6] Kim J, Kim M, Hong S, et al. Anti-inflammatory effects of Fritillaria thunbergii Miquel extracts in LPS-stimulated murine macrophage RAW 264.7 cells [J]. Exp Ther Med, 2021, 21 (5): 429.
- [7] Mostafa K, Zahra Y, Zaher M, et al. Cytotoxic effect of methanolic extracts of Fritillaria imperialis bulbs and Eryngium caucasicum leaves on hepatoma and colon cancer cells [J]. Asian Pacific J Trop Biomed, 2019, 9(8): 353.
- [8] 王翰华,杨晓春,崔明超,等. 浙贝母花与宁海白枇杷花配伍的抗炎及抗菌作用[J]. 中成药,2018,40(1):46-50.
- [9] 程 斌,童静玲,周爱珍,等.基于 UPLC-Q-TOF-MS 谱-效分析的浙贝母化痰质量标志物的初步筛选及含量差异研究[J].中国药学杂志,2021,56(6):462-471.
- [10] 程 斌,周爱珍,彭 昕,等. 浙贝母 UPLC-Q-TOF-MS/MS 指纹图谱的建立及其抗炎质量标志物的分析[J]. 中国药房,2020,31(17):2129-2135.
- [11] Li H Y, Zhao H W, Yang Y, et al. Identification of chemical components of Qi-Fu-Yin and its prototype components and metabolites in rat plasma and cerebrospinal fluid via UPLC-Q-TOF-MS [J]. Evid Based Complement Alternat Med., 2021, 2021; 1995766.
- [12] Park M, Lee B I, Choi J, et al. Quantitative analysis of daporinad (FK866) and its in vitro and in vivo metabolite identification using liquid chromatography-quadrupole-time-of-flight mass spectrometry [J]. Molecules, 2022, 27(6); 2011.
- [13] 李荣荣,赵 迪,李蒙蒙,等.基于 UHPLC-Q Exactive-Orbitrap 高分辨质谱研究浙贝母和陈皮主要成分在大鼠体内的代谢物[J]. 药物分析杂志, 2020, 40(8): 1413-1424.

- [14] 田 溪. 基于体内过程变化和代谢组学的知母-川贝母药对配伍机制研究[D]. 石家庄:河北医科大学, 2022.
- [15] 吴 潇. 浙贝乙素大鼠体内药代动力学研究[D]. 武汉: 华中科技大学, 2010.
- [16] 彭 伟,黎江华,刘玉杰,等. 浙贝母花脂肪油成分和生物活性研究[J]. 中药与临床,2017,8(3):19-21;68.
- [17] 张建兴, 劳爱娜, 黄薏珠, 等. 浙贝母化学成分的研究——Ⅲ. 浙贝酮的分离和鉴定[J]. 药学学报, 1992, 27 (6): 472-475.
- [18] 金悦仙,潘苇芩,魏鸿雁,等. 伊犁贝母的化学成分研究 [J]. 中草药, 2019, 50(11): 2534-2538.
- [19] Tang W, Eisenbr G. Chinese drugs of plant origin [M]. Berlin: Springer, 1992: 711-737.
- [20] 梁君玲,曹小吉,李建伟,等. 浙贝母花挥发油的气相色谱-飞行时间质谱分析[J]. 中国中药杂志,2011,36(19):2689-2692.
- [21] 李 菡,武康雄,史阔豪,等. 土贝母化学成分、药理作用及临床应用研究进展[J]. 中国中药杂志,2021,46(17):4314-4322.
- [22] 黄金昌,雷 春,阿吉艾克拜尔·艾萨,等.砂贝母中异甾体生物碱类成分的研究[J].有机化学,2019,39(3):842-847.
- [23] 周勤梅,彭 成,陆廷亚,等.暗紫贝母化学成分研究[J]. 中药材,2016,39(10):2237-2239.
- [24] 崔琳琳,包永睿,王 帅,等. UPLC-Q-TOF-MS/MS 快速 鉴定补肺健脾方的化学成分[J]. 中国实验方剂学杂志, 2020, 26(9): 184-193.
- [25] 周冠炜. 不同产地贝母化学成分分析及川贝母在保健食品中的应用研究[D]. 成都: 西华大学, 2019.
- [26] 谭 静, 林红强, 刘云鹤, 等. 血栓心脉宁片在血瘀大鼠 脑组 织中的成分分析 [J]. 中草药, 2019, 50 (17): 4254-4260.
- [27] 吴福林. 止痛化癥胶囊抗血瘀药效物质基础及其作用机制研究[D]. 长春: 吉林大学, 2020.
- [28] 崔治家,马艳珠,张小荣,等.川贝母化学成分和药理作用研究进展及质量标志物的预测分析[J].中草药,2021,52(9):2768-2784.
- [29] Atta-ur-Rahman, Akhtar M N, Choudhary M I, et al. New diterpene isopimara-7, 15-dien-19-oic acid and its prolyl endopeptidase inhibitory activity[J]. Nat Prod Res, 2005, 19 (1): 13-22.
- [30] 先有其. 基于液相色谱高分辨质谱联用技术的桑叶茶成分分析及品质鉴别[D]. 绵阳: 西南科技大学, 2021.
- [31] 戴 静,刘博文,刘晓凤,等.基于化学成分相似性的川贝母茎 叶药 效 研究 [J].中草药,2021,52(16):4942-4953.
- [32] Liu F J, Jiang Y, Li P, et al. Untargeted metabolomics coupled with chemometric analysis reveals species-specific steroidal alkaloids for the authentication of medicinal Fritillariae Bulbus and relevant products [J]. J Chromatogr A, 2020, 1612; 460630.
- [33] Schlosser P, Li Y, Sekula P, et al. Genetic studies of urinary metabolites illuminate mechanisms of detoxification and excretion in humans [J]. Nat Genet, 2020, 52(2): 167-176.